



Comparison of monthly satellite, modelled and in situ surface radiation data over Hungary

Ildikó Dobi

Climatology Division. OMSZ



Alapítva: 1870



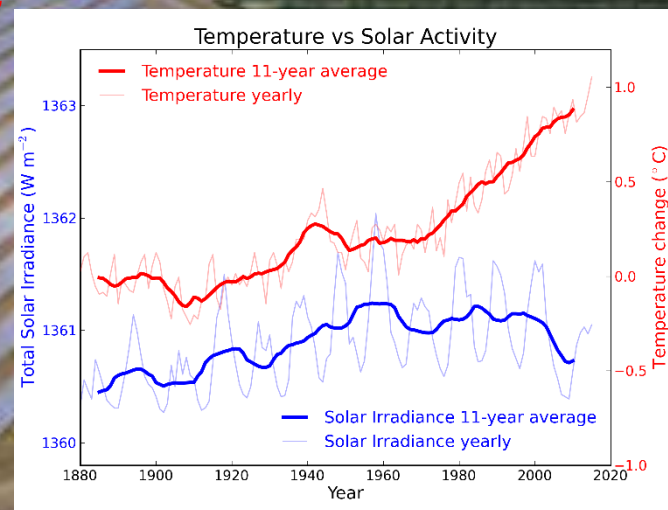
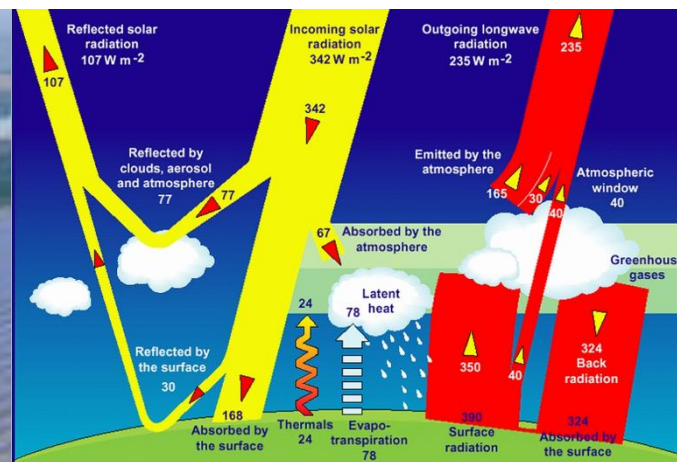
Importance of radiation data

Climate studies:

- solar budget
- long term trend

Solar powers:

- feasibility and resource assessment
- system siting
- system design
- financial assessment
- performance check
- grid management
- electricity market
- development and testing of technology

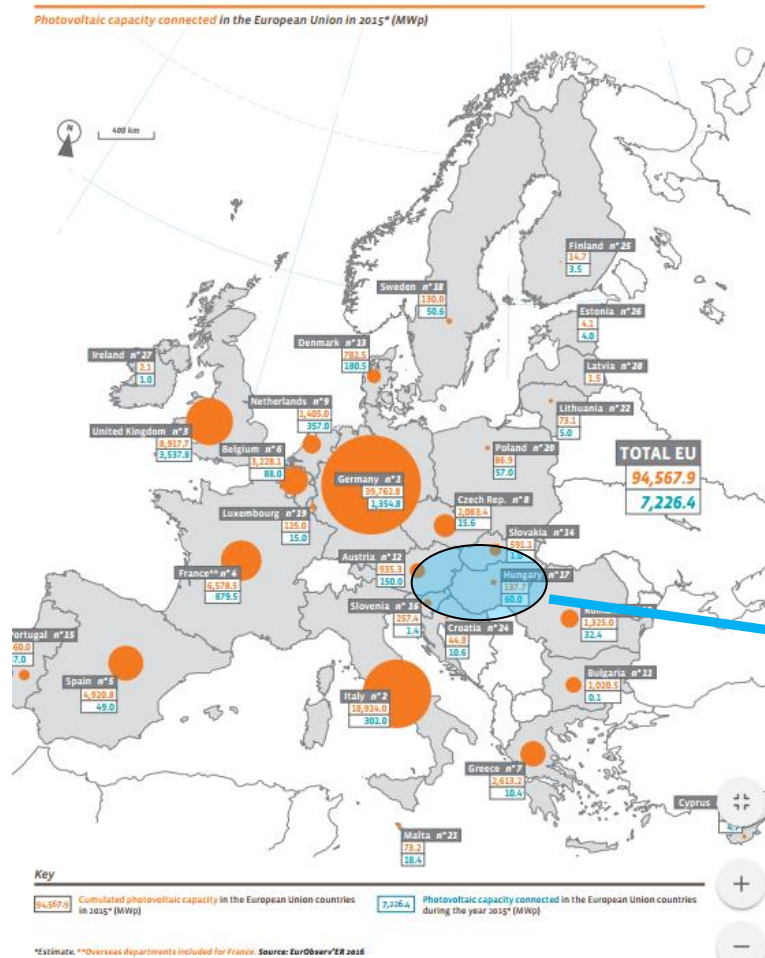


Source: <https://www.quora.com/>

Solar PV (and collector) capacity in EU

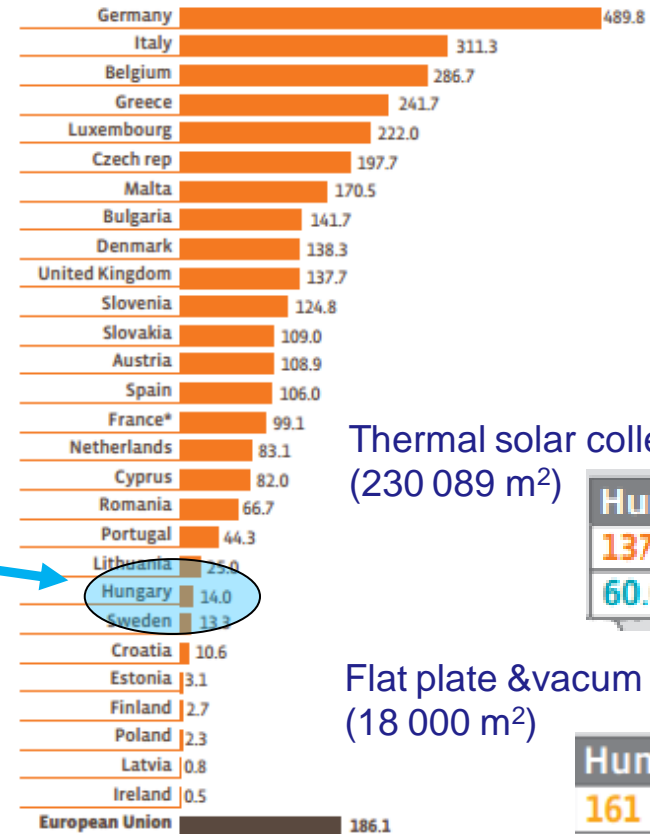


EUROSERVER, 2016

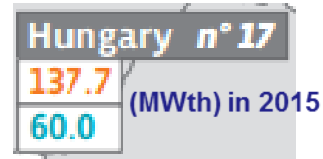


Graph. n° 1

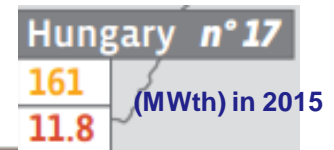
Photovoltaic capacity per inhabitant (Wp/inhab.) for each EU country in 2015



Thermal solar collectors
(230 089 m²)



Flat plate & vacum collectors
(18 000 m²)



Hungary

Total energy consumption (2015) $42,5 \cdot 10^9$ kWh

Solar energy theoretical potential $1,16 \cdot 10^{14}$ kWh/year (~3000*)

Solar energy technical potential: $486 \cdot 10^{19}$ kWh (~10*)



OMSZ long tradition on solar R+D

XXXI. évf. Uj sor. III. évf. 9—10. füzet. 1927. szept.—okt.

AZ IDŐJÁRÁS

A MAGYAR METEOROLOGIAI TÁRSASÁG FOLYÓIRATA.
SZERKESZTI: DR RÓNA ZSIGMOND.

MEGJELENIK KÉTHAVONTA.
SZERKESZTŐSÉG ÉS KIADÓHIVATAL: BUDAPEST, II., KITAIBEL PÁL-UTCA 1. SZ.

Hegy és völgy napsütése.

(Második közlemény.)

Napsütés a hegycsúcsokon. Meg kell még emlékeznünk a hegycsúcsok napsütéséről, mely a tágabb horizont miatt nagyobb, mint bármely más expozíciójú helyé:

„Die Sonne strahlt am ersten hier,
am längsten weilet sie bei mir!“

(Uhtland.)

A szabadon álló hegycsúcs és a sík Alföld napsütése közti különbség azonban nem olyan nagy, aminőnek első pillanatra gondolnók. Izolált hegycsúcs horizontjának depressziója h a sík horizont alá:

$$\cos h = \frac{R}{R+H} \text{ vagyis } h \sim \sqrt{\frac{2H}{R}}$$

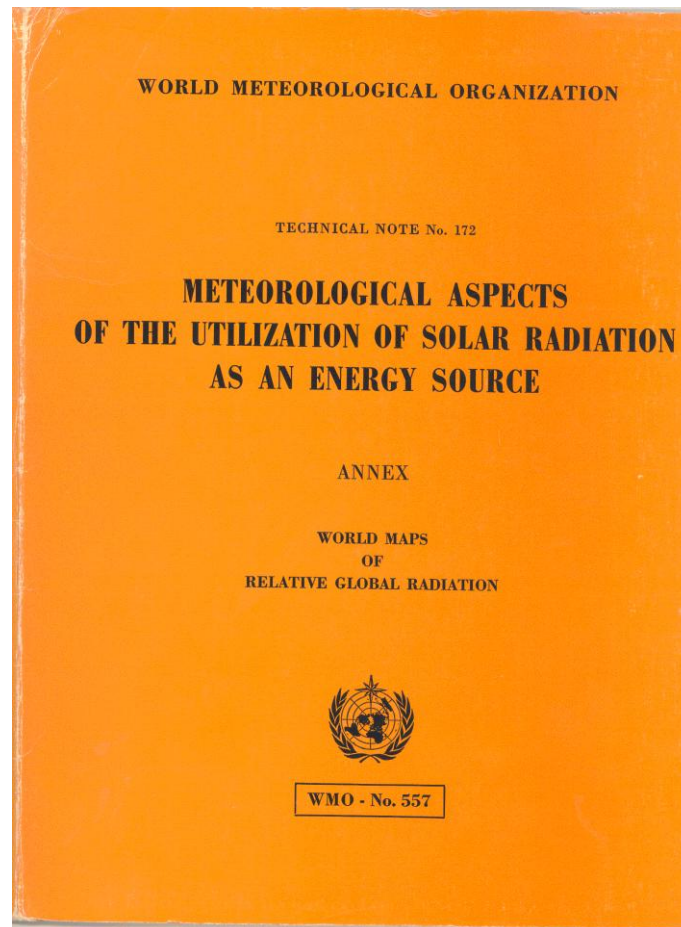
hol R a földugár és H a hegycsúcs magassága. Mint látható, ez igen kicsiny, a *Galyatetőn* pl. éppen 1° , a *Ferenc József-csúcs*on pedig körülbelül $1\frac{1}{2}^\circ$, ennyivel többet látunk a hegycsúcson az égbolttól (a sík horizont alá), mint a sík Alföldön, a Nap kelte és nyugta tehát a hegycsúcson nem a $h = 0'$ magassági körön, hanem ez alatt, negatív magassági körön megy végbe.

1. ábránk szerint (100. old.) a Nap $h = +5^\circ$ magasságban reggel kb. $\frac{1}{2}$ órával később van, mint a $h = 0^\circ$ horizontban, $h = -5^\circ$ magasságban tehát napkelte előtt kb. $\frac{1}{3}$ órával korábban. A *Galyatetőn*, illetőleg *Ferenc József-csúcs*on az 1° illetőleg $1\frac{1}{2}^\circ$ depresszióknak megfelelőleg a napsütés így reggel és este 6, illetőleg 9, egész nap tehát 12, illetőleg 18 perccel több, mint a sík Alföldön. A különbség tehát valóban nem nagy, annál jóval nagyobb azonban a hegycsúcs előnye a sík Alföld fölött az intenzitás tekintetében, amint azt alább látni fogjuk.

Az intenzitás.

A levegő a sugárzást nem bocsátja át teljesen, miért is a sugár intenzitása csökken a levegőben megtett úttal, s így fordítva arányos a szögmagassággal is.

Ch. Morell Gy. 1981



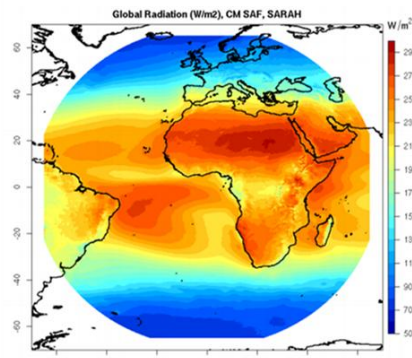
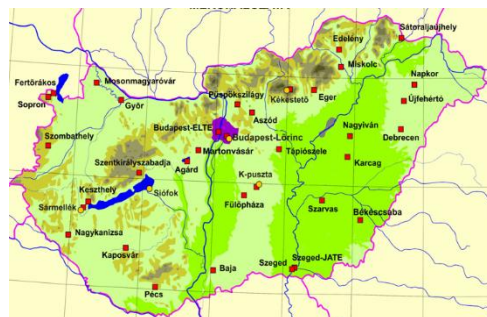
1981

Major Gy. (ed),

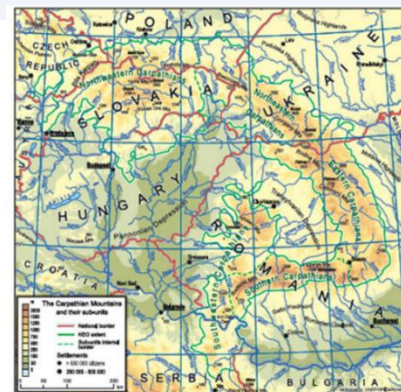
Miskolczi F., Putsay M., Rimóczi-Paál A.,
Takács O., Tárkányi Z.



Global radiation data for Hungary



http://www.cmsaf.eu/EN/Home/home_node.html



	Ground measurements	Satellite data	Modelled data
Data Set	OMSZ Network	EUMETSAT CM SAF http://wui.cmsaf.eu/s	CarpatClim www.carpatclim-eu.org/
Abbr.	OBS	SIS	CC
Parameters	Global radiation	Surface Incoming Shortwave radiation	Globan radiation from sunshine duration
Spatial resolution/ number of stations	40	0.05° x 0.05°	0.1° x 0.1°
Lengt of record	pyranometers Kipp&Zonen (1972-)	1983-2013 SARAH data set	1961-2010



Advantages - disadvantages

	Ground measurements	Satellite data	Modelled data
Advantages	<ul style="list-style-type: none">• high accuracy• high time resolution	<ul style="list-style-type: none">• high spatial resolution• long term data (>30y)• no soiling	<ul style="list-style-type: none">• in case of no data
Dis-advantages	<ul style="list-style-type: none">• soiling of the sensors• sensor failures	<ul style="list-style-type: none">• lower time resolutions• lower accuracy	<ul style="list-style-type: none">• dependency on model

Comment on units:

Irradiation is the energy received per area ($\text{MJ}/\text{m}^2/\text{day}$)

preferred by meteorological community

Irradiance is defined as a power (or flux) received per area (W/m^2)

preferred by energetic community

Ground measurements



GHI – Global Horizontal Irradiance

(total solar irradiance)

$$GHI = DNI * \cos(SZA) + DHI$$

SZA – solar zenith angle

DHI – Diffuse Horizontal Irradiance

(diffuse sky radiation)

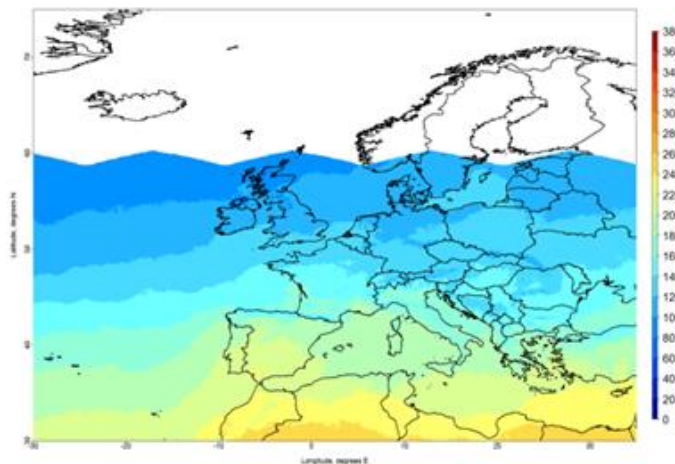
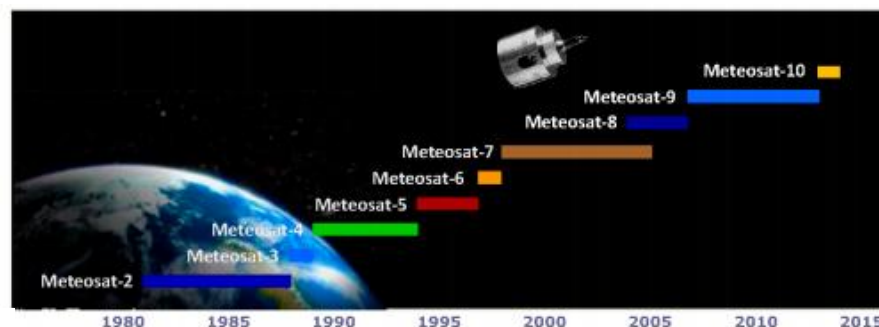
DNI – Direct Normal Irradiance

(beam irradiance)

for CSP (Concentrating Solar Power)

Surface Solar Radiation Data Set – Heliosat (SARAH):

- MFG. MSG
- 31 year. monthly
- 1983.01-2013.12
- $0.05^\circ \times 0.05^\circ$



Parameters (W/m^2)

- **SIS (Surface Incoming Solar radiation)**
- SID (Surface Direct Irradiance)
- DNI (Direct Normal Irradiation)



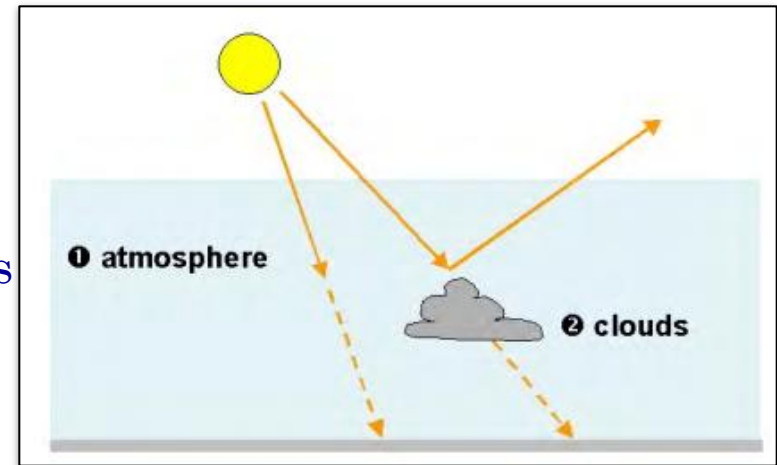
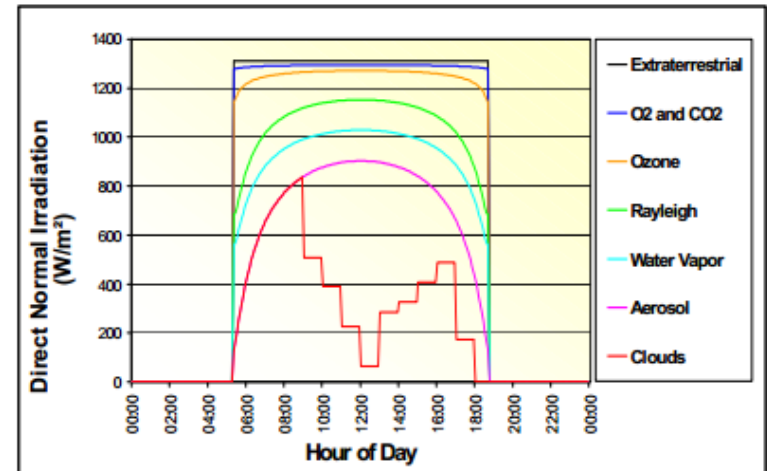
Satellite derived data

1. Atmosphere:

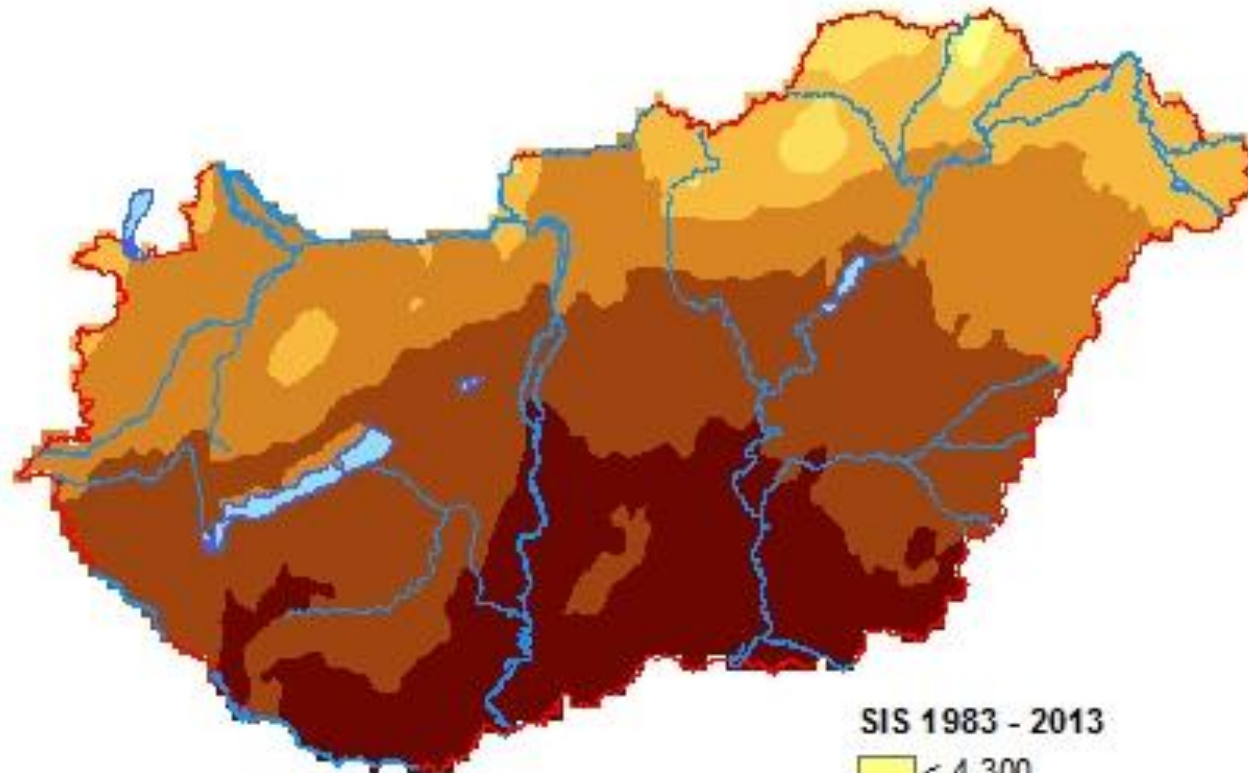
Gather satellite information of atmospheric composition (ozone, water vapor, aerosol) apply 'clear sky' method to calculate fraction of direct and diffuse irradiance.

2. Clouds:

Calculate the cloud index as the difference between **actual reflectivity** of the earth as it is seen by the satellite and a **reference image** which only includes reflectance of the ground.



Radiation maps: SIS (1983-2013)



SIS 1983 - 2013

< 4 300

4 301 - 4 400

4 401 - 4 500

4 501 - 4 600

4 601 - 4 700

4 701 MJ/m²/nap



Carpatclim radiation data

Calculation methodology

Input:

- accumulated daily records of sunshine duration [hours] at meteorological station level;
- latitudes of the stations (ϕ in radians);

In CARPATCLIM project where observed global radiation was available at station level, it was used. In the case where only sunshine duration was available, global radiation was calculated using the equation postulated by Ångström (1924) and modified by Prescott (1940) which relates global radiation to extra-terrestrial radiation R_o (known as Angot radiation) and relative sunshine duration n/N . The two constants in this equation depend on the geographic location.

$$R_s = \left(0,25 + 0,50 \frac{n}{N} \right) R_o, \quad (1)$$

where:

R_s global radiation [$\text{MJ m}^{-2} \text{d}^{-1}$],

n/N relative sunshine duration [-],

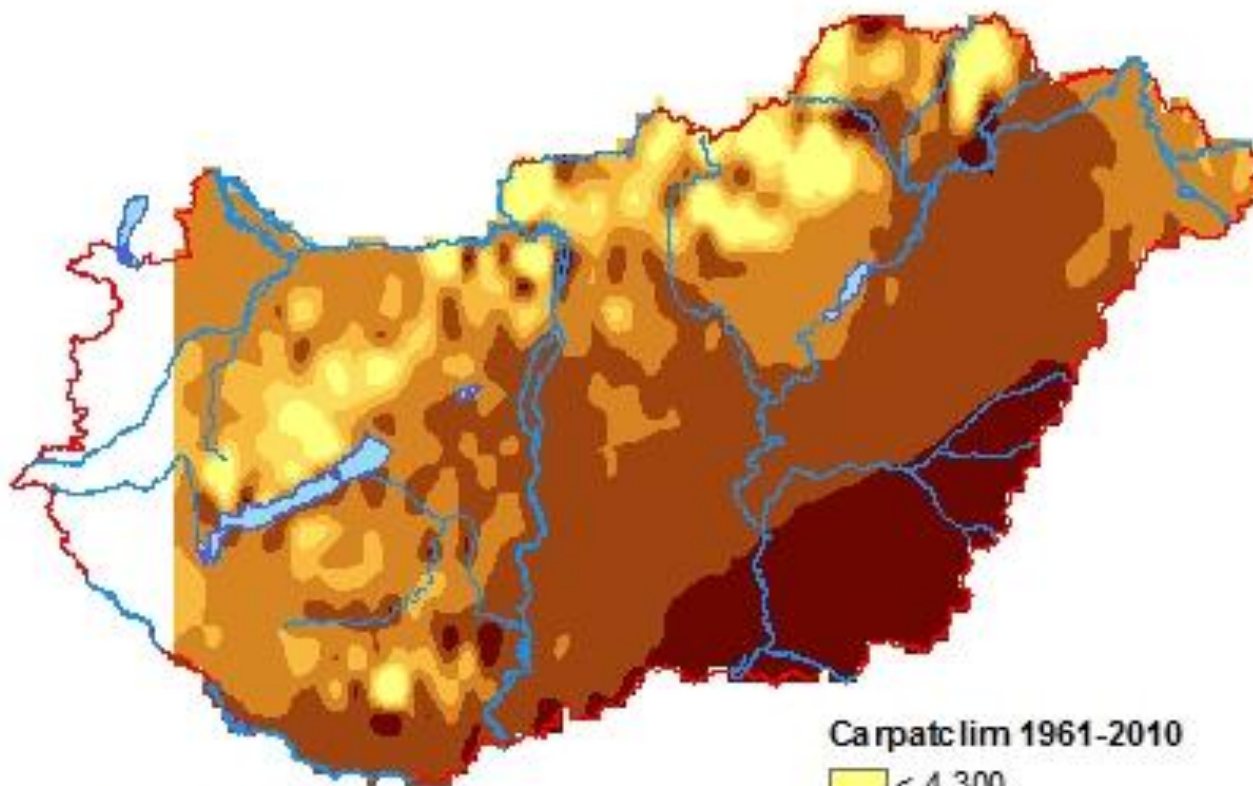
n actual duration of sunshine [hour],

N maximum possible daily sunshine duration (daylight hours) [hour] (2),

R_o extra-terrestrial radiation [$\text{MJ m}^{-2} \text{d}^{-1}$] (5).



Radiation Maps: CarpatClim (1961-2010)



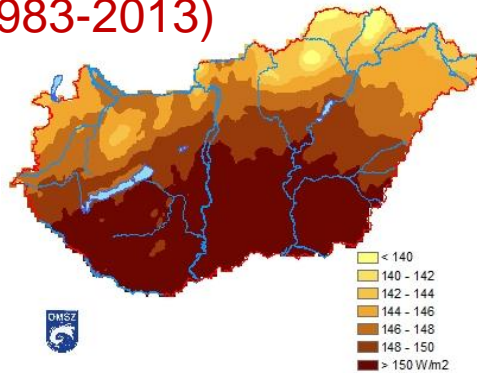
Carpatclim 1961-2010



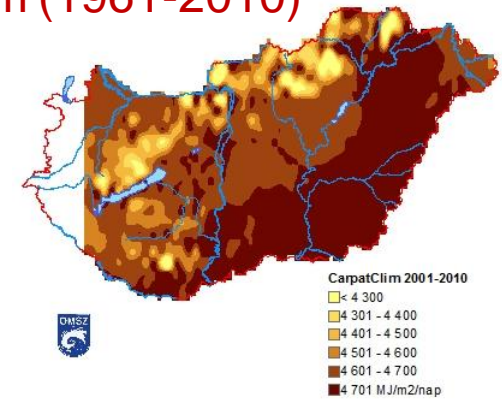
Comparison of SIS and CarpatClim global radiation maps



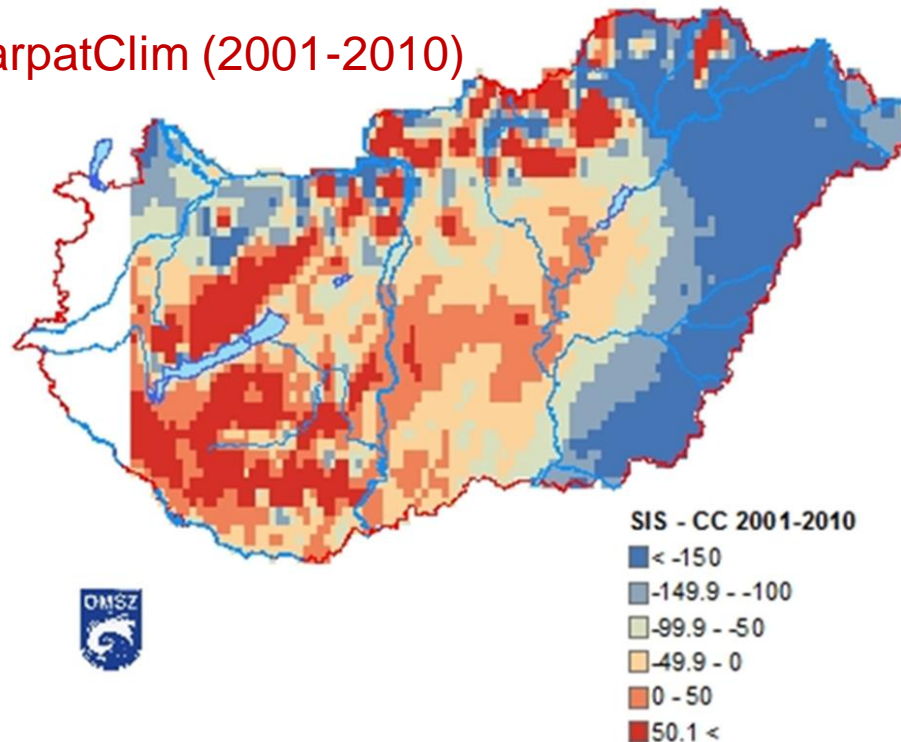
SIS (1983-2013)



CarpatClim (1961-2010)



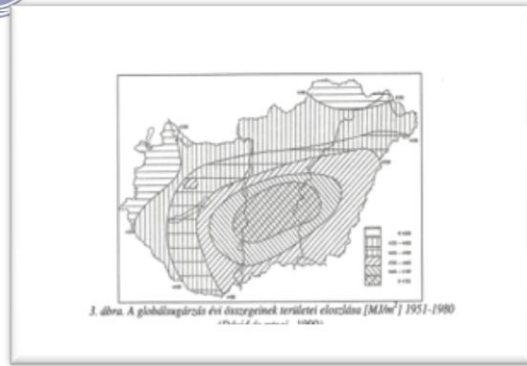
SIS minus CarpatClim (2001-2010)



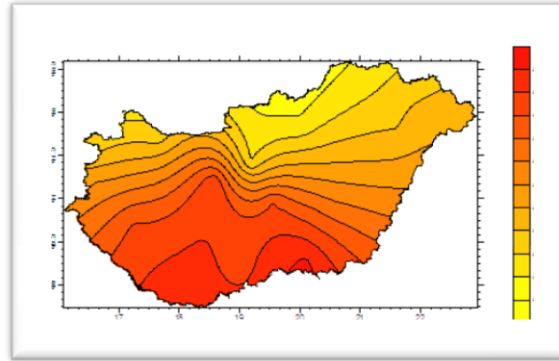
Solar radiation Atlases



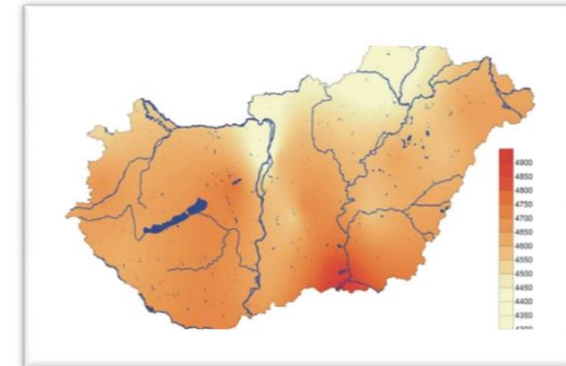
OMSZ Network



1951-80 (David és mtsai.)
13 stations

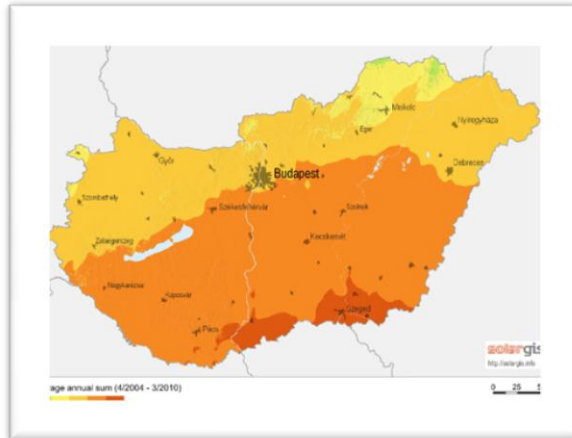


1997-2002 (Bella és mtsai)
15 stations

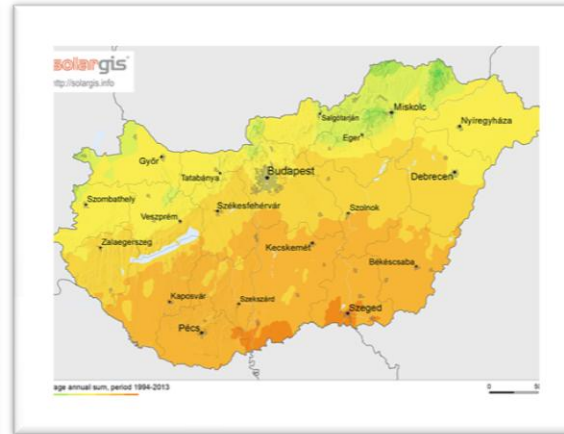


2000-2009 (met.hu)
13 stations

Satellites



2004-2010 (SolarGIS)



1994-2013 (SolarGIS)
4*4 km MSG, GOES, MTSAT

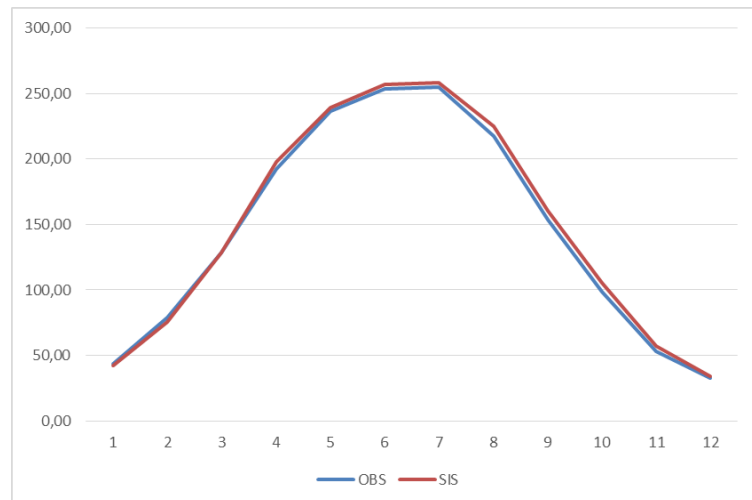


PVGIS © European Union. 2001-2012
1998-2011 (PVGIS)
WRDC. Meteosat. 10*10

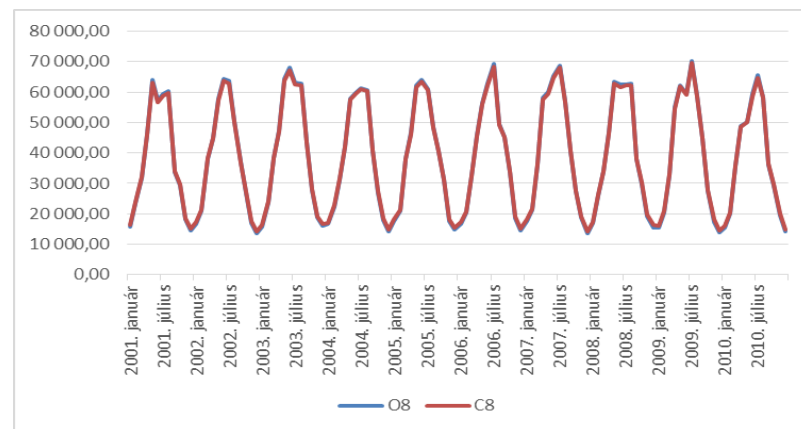
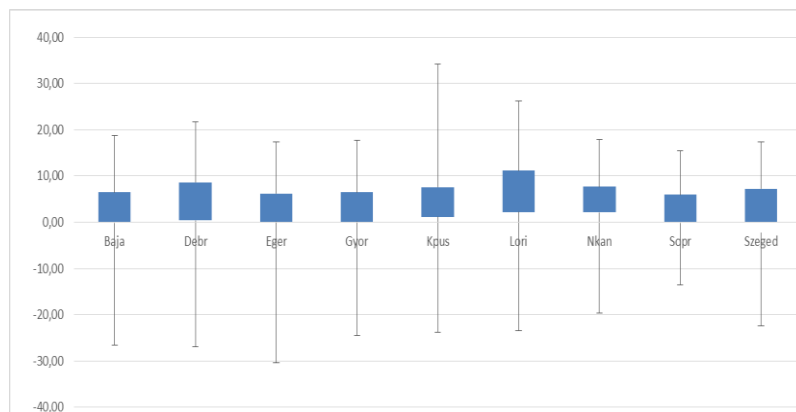
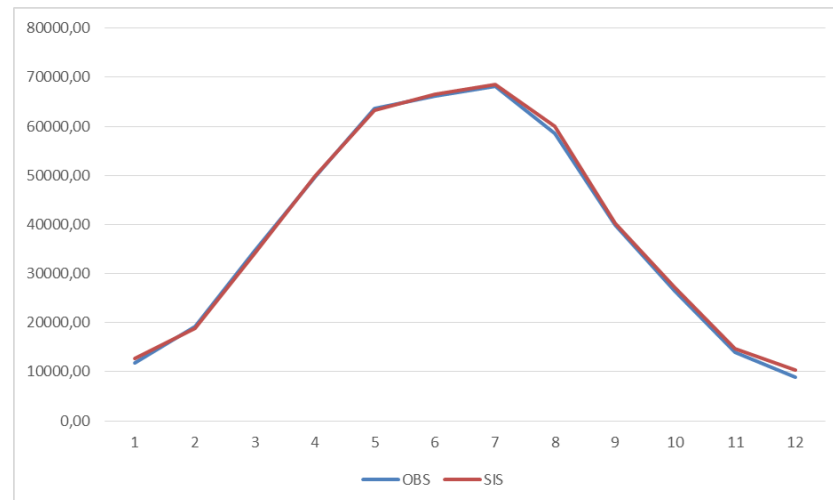


Verifications

Satellite & Observed



CarpatClim & Observed





Monthly verification

Data 1	Data 2	N	BIAS	MAB	SD	AC	Frac>15W/m2
SIS	OBS	1038	3.17	5.96	7.11	0.90	5.60
SIS	CarpatClim	959	0.92	6.54	8.37	0.97	7.51
CarpatClim	OBS	945	1.69	5.37	6.90	0.99	5.00
Mullet et al., 2015	BSRN	1672	1.27	5.46	7.34	0.92	5.60
Riihalä et. all. 2015	FMI, 18 stations		-	6.23	8.32	0.89	
Sanches- Lorenzo et all, 2013	GEBA, 47 stations		5.2	8.2	9.5		
LVGMC				6-9			

- Bias < 3.2 W/m²
- Mean Absolut Bias 5.5-6.5 W/m²
- Test results are similar to literature

Future plans

Verification on daily data

Radiation Atlas of Hungary from CM SAF (SARAH)

Thank you for your attention!

dobi.i@met.hu